

FLUMilog

Interface graphique v.5.6.1.0

Outil de calculV6.0.3

Flux Thermiques

Détermination des distances d'effets

| | |
|---|--|
| Utilisateur : | |
| Société : | |
| Nom du Projet : | ROYEC32662b |
| Cellule : | |
| Commentaire : | |
| Création du fichier de données d'entrée : | 12/12/2024 à 17:17:07 avec l'interface graphique v. 5.6.1.0 |
| Date de création du fichier de résultats : | 12/12/24 |

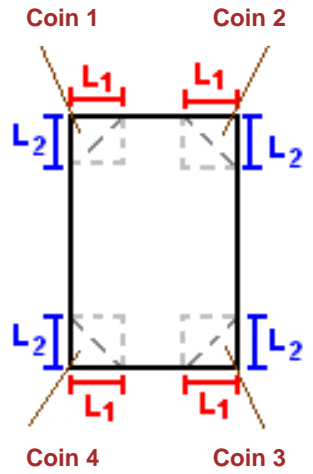
I. DONNEES D'ENTREE :

Donnée Cible

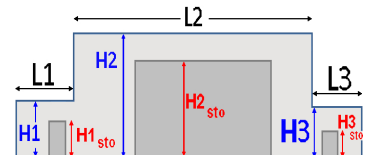
Hauteur de la cible : **1,8** m

Géométrie Cellule1

| Nom de la Cellule :Cellule 3 | | | |
|------------------------------------|-------------|--------------|------------|
| Longueur maximum de la cellule (m) | | 96,5 | |
| Largeur maximum de la cellule (m) | | 124,0 | |
| Hauteur maximum de la cellule (m) | | 16,4 | |
| Coin 1 | non tronqué | L1 (m) | 0,0 |
| | | L2 (m) | 0,0 |
| Coin 2 | non tronqué | L1 (m) | 0,0 |
| | | L2 (m) | 0,0 |
| Coin 3 | non tronqué | L1 (m) | 0,0 |
| | | L2 (m) | 0,0 |
| Coin 4 | non tronqué | L1 (m) | 0,0 |
| | | L2 (m) | 0,0 |



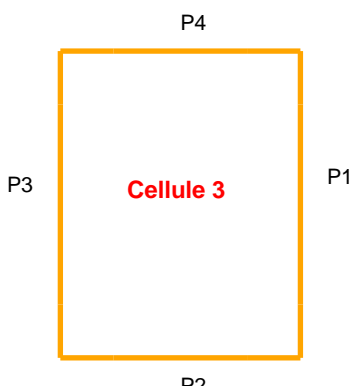
| Hauteur complexe | | | |
|------------------|------------|------------|------------|
| | 1 | 2 | 3 |
| L (m) | 0,0 | 0,0 | 0,0 |
| H (m) | 0,0 | 0,0 | 0,0 |
| H sto (m) | 0,0 | 0,0 | 0,0 |



Toiture

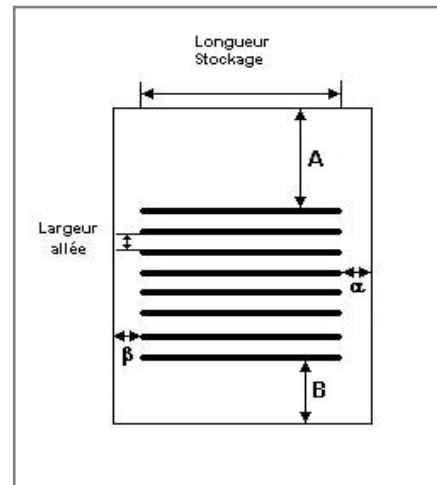
| | |
|-------------------------------------|--------------------------------|
| Résistance au feu des poutres (min) | 60 |
| Résistance au feu des pannes (min) | 15 |
| Matériaux constituant la couverture | metallique multicouches |
| Nombre d'exutoires | 40 |
| Longueur des exutoires (m) | 3,0 |
| Largeur des exutoires (m) | 2,0 |

Parois de la cellule : Cellule 3



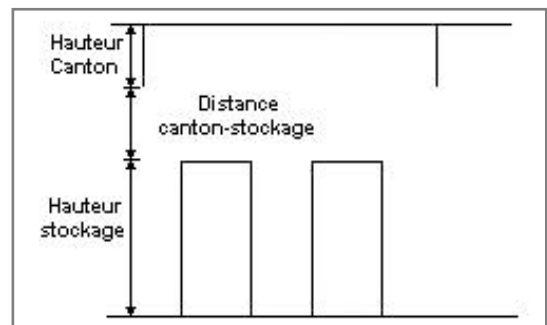
Stockage de la cellule : Cellule 3

| | |
|--|---------|
| Nombre de niveaux | 6 |
| Mode de stockage | Rack |
| Dimensions | |
| Longueur de stockage | 104,0 m |
| Déport latéral A | 0,0 m |
| Déport latéral B | 0,0 m |
| Longueur de préparation a | 20,0 m |
| Longueur de préparation b | 0,0 m |
| Hauteur maximum de stockage | 10,0 m |
| Hauteur du canton | 1,0 m |
| Ecart entre le haut du stockage et le canton | 5,4 m |



Stockage en rack

| | |
|------------------------------------|----------------------------|
| Sens du stockage | dans le sens de la paroi 2 |
| Nombre de double racks | 15 |
| Largeur d'un double rack | 2,6 m |
| Nombre de racks simples | 2 |
| Largeur d'un rack simple | 1,3 m |
| Largeur des allées entre les racks | 3,4 m |



Palette type de la cellule Cellule 3

Dimensions Palette

| | |
|--------------------------|--------------------------------------|
| Longueur de la palette : | Adaptée aux dimensions de la palette |
| Largeur de la palette : | Adaptée aux dimensions de la palette |
| Hauteur de la palette : | Adaptée aux dimensions de la palette |
| Volume de la palette : | Adaptée aux dimensions de la palette |
| Nom de la palette : | Palette type 2662 |

Poids total de la palette : **Par défaut**

Composition de la Palette (Masse en kg)

| NC |
|-----|-----|-----|-----|-----|-----|-----|
| 0,0 | 0,0 | 0,0 | 0,0 | 0,0 | 0,0 | 0,0 |

| NC |
|-----|-----|-----|-----|-----|-----|-----|
| 0,0 | 0,0 | 0,0 | 0,0 | 0,0 | 0,0 | 0,0 |

| NC | NC | NC | NC |
|-----|-----|-----|-----|
| 0,0 | 0,0 | 0,0 | 0,0 |

Données supplémentaires

Durée de combustion de la palette : 45,0 min

Puissance dégagée par la palette : Adaptée aux dimensions de la palette

Rappel : les dimensions standards d'une Palette type 2662 sont de 1,2 m * 0,8 m x 1,5 m, sa puissance est de 1875,0 kW

Merlons

Vue du dessus

1 2

(X1;Y1) (X2;Y2)

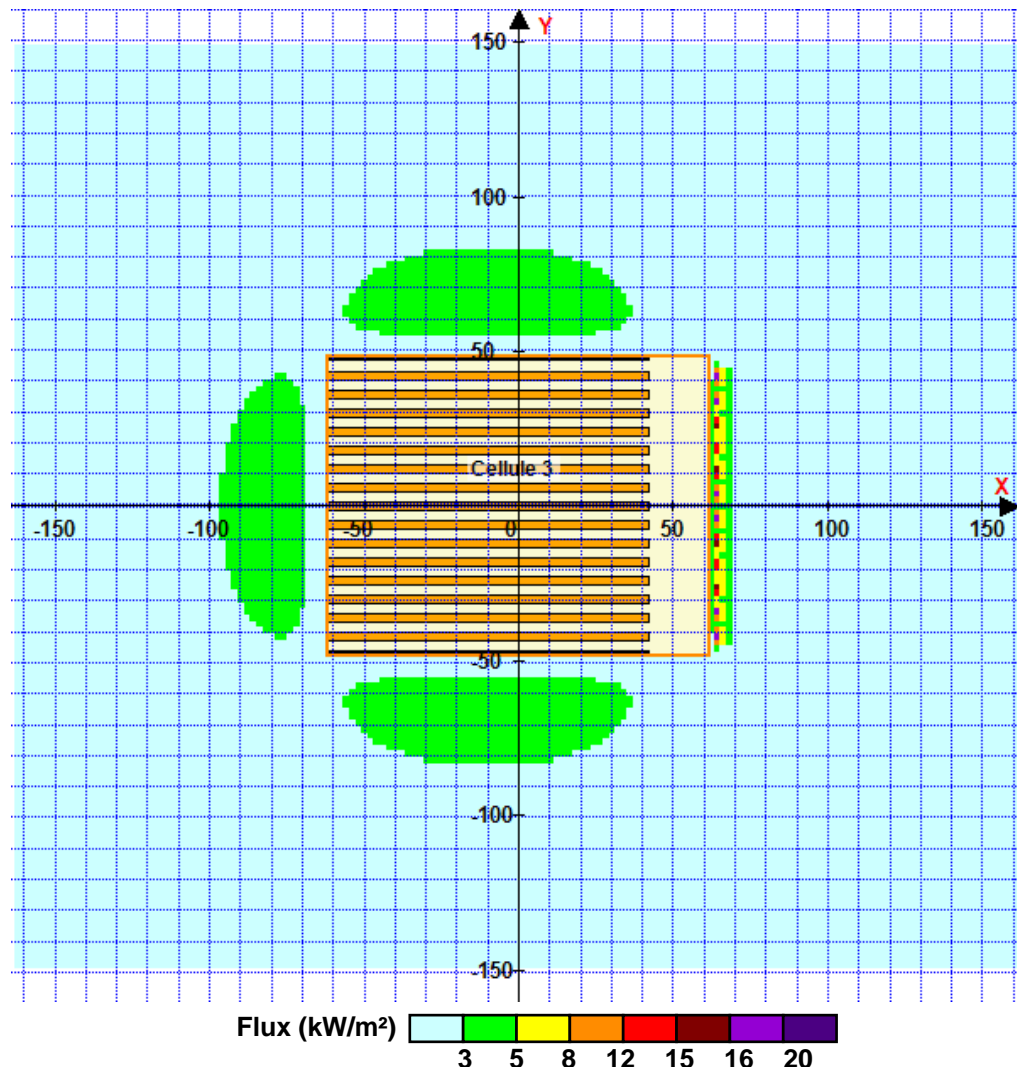
| | | Coordonnées du premier point | | Coordonnées du deuxième point | |
|-----------|-------------|------------------------------|--------|-------------------------------|--------|
| Merlon n° | Hauteur (m) | X1 (m) | Y1 (m) | X2 (m) | Y2 (m) |
| 1 | 0,0 | 0,0 | 0,0 | 0,0 | 0,0 |
| 2 | 0,0 | 0,0 | 0,0 | 0,0 | 0,0 |
| 3 | 0,0 | 0,0 | 0,0 | 0,0 | 0,0 |
| 4 | 0,0 | 0,0 | 0,0 | 0,0 | 0,0 |
| 5 | 0,0 | 0,0 | 0,0 | 0,0 | 0,0 |
| 6 | 0,0 | 0,0 | 0,0 | 0,0 | 0,0 |
| 7 | 0,0 | 0,0 | 0,0 | 0,0 | 0,0 |
| 8 | 0,0 | 0,0 | 0,0 | 0,0 | 0,0 |
| 9 | 0,0 | 0,0 | 0,0 | 0,0 | 0,0 |
| 10 | 0,0 | 0,0 | 0,0 | 0,0 | 0,0 |
| 11 | 0,0 | 0,0 | 0,0 | 0,0 | 0,0 |
| 12 | 0,0 | 0,0 | 0,0 | 0,0 | 0,0 |
| 13 | 0,0 | 0,0 | 0,0 | 0,0 | 0,0 |
| 14 | 0,0 | 0,0 | 0,0 | 0,0 | 0,0 |
| 15 | 0,0 | 0,0 | 0,0 | 0,0 | 0,0 |
| 16 | 0,0 | 0,0 | 0,0 | 0,0 | 0,0 |
| 17 | 0,0 | 0,0 | 0,0 | 0,0 | 0,0 |
| 18 | 0,0 | 0,0 | 0,0 | 0,0 | 0,0 |
| 19 | 0,0 | 0,0 | 0,0 | 0,0 | 0,0 |
| 20 | 0,0 | 0,0 | 0,0 | 0,0 | 0,0 |

II. RESULTATS :

Départ de l'incendie dans la cellule : **Cellule 3**

Durée de l'incendie dans la cellule : Cellule 3 99,0 min

Distance d'effets des flux maximum



Pour information : Dans l'environnement proche de la flamme, le transfert convectif de chaleur ne peut être négligé. Il est donc préconisé pour de faibles distances d'effets comprises entre 1 et 5 m de retenir une distance d'effets de 5 m et pour celles comprises entre 6 m et 10 m de retenir 10 m.